

# СТРОГИЙ МЕТОД ОЦЕНКИ АКУСТИЧЕСКИХ СВОЙСТВ ШУМОПОДАВЛЯЮЩИХ БАРЬЕРОВ

И. В. ВОВК, Т. А. КОНЧЕНКО

*Институт гидромеханики НАН Украины  
ул. Желябова, 8/4, 03680, Київ-180, ГСП, Украина  
тел. (044) 456-43-13, 456-69-83; e-mail: vovk@visti.com*

В. Т. МАЦЫПУРА

*Национальный технический университет “КПИ”, Киев*

Методом частичных областей решена задача о рассеянии звука на шумоподавляющем барьере и разработан эффективный алгоритм для численного анализа звукового поля в освещенной, переходной и теневой зонах. Проведены расчеты звукового поля вдали и вблизи барьера в широком диапазоне частот и при разных размещениях источника относительно барьера. Даны два примера оценки эффективности барьеров для интересных с практической точки зрения случаев.

## ВВЕДЕНИЕ

В последние десятилетия XX и начало XXI столетия наблюдается постоянный рост шумового загрязнения среды обитания человека. Вместе с тем хорошо известно, что воздействие шума с уровнем более 65 дБ может приводить к полной или частичной потере слуха человека [1, 2]. Вот почему в развитых странах много внимания уделяется научным программам, направленным на изучение шумового загрязнения городов и разработку мер по его снижению. Об этом свидетельствует непрекращающийся поток публикаций в ведущих зарубежных научных и технических журналах по акустике за последние 40 лет (см., например, [3–7] и библиографию в них).

Особое место в этих публикациях занимает метод шумоподавления с помощью барьеров (акустических экранов), располагаемых между источниками шума и зоной, которую нужно защитить от его воздействия. Такими зонами могут быть жилые дома, тротуары около транспортных магистралей, рабочие места на производстве и пр. Причина популярности барьеров очевидна и связана с их относительной дешевизной и простотой использования. Основная масса публикаций, посвященных оценкам рассеянных барьерами звуковых полей, выполнена на основе использования приближенных подходов, в частности методов лучевой акустики, методов Келлера и других асимптотических методик (подробности см. в [3, 5, 11]). Как известно, указанные методы позволяют получать хорошие оценки полей за барьером (в области его акустической тени) в основном для случаев, когда высота барьера значительно превышает длину падающей на него звуковой волны.

Цель доклада состоит в обобщении известного строгого метода частичных областей [8] на круг дифракционных задач, связанных с шумоподавляющими барьерами,

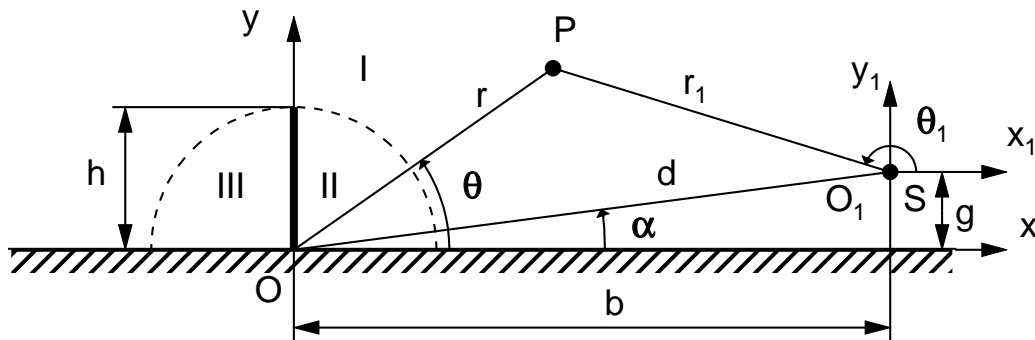


Рис. 1. Геометрия задачи

и получении на этой основе эффективных решений, позволяющих проводить исчерпывающий анализ рассеянных барьерами звуковых полей во всем диапазоне частот, интересном с практической точки зрения.

## 1 ФИЗИЧЕСКАЯ И МАТЕМАТИЧЕСКАЯ МОДЕЛИ БАРЬЕРА

Будем полагать, что на бесконечной акустически жесткой поверхности, которая моделирует поверхность земли, в точке  $O$  установлен бесконечный (вдоль направления перпендикулярного плоскости рисунка) акустически жесткий тонкий барьер высотой  $h$  (рис. 1). Справа параллельно барьеру на расстоянии  $b$  от него и на высоте  $g$  от поверхности земли ( $y=0$ ) находится линейный гармонический источник звука  $S$  в виде бесконечной пульсирующей нити, моделирующий звук, создаваемый транспортным потоком. Как принято, буквой  $P$  обозначена точка наблюдения. Все полупространство, где может существовать возбуждаемое источником поле, заполнено идеально сжимаемой средой с плотностью  $\rho$  и скоростью звука  $c$ . В дальнейшем будем полагать, что этой средой является воздух.

Описанная физическая модель с точки зрения математики эквивалентна плоской задаче, когда звуковое поле не зависит от одной из координат (в данном случае от координаты, нормальной к плоскости рисунка). Принятые акустические свойства поверхностей означают, что нормальная составляющая колебательной скорости звукового поля на них равна нулю. Кроме того, при выбранных свойствах источника звука и окружающей среды искомое поле давления должно удовлетворять уравнению Гельмгольца. Принятые модели, с одной стороны, в самых общих чертах вполне адекватны ситуациям, встречающимся на практике, а с другой (как будет показано ниже) – позволяют построить строгое аналитическое решение о рассеянии звука на таком препятствии как барьер.

## 2 ПОСТРОЕНИЕ АНАЛИТИЧЕСКОГО РЕШЕНИЯ ЗАДАЧИ

Для построения решения поставленной задачи введем полярную систему координат  $(r, \theta)$  с центром в точке  $O$  (см. рис. 1). Решение задачи будем строить на базе метода

частичних областей [8]. В соответствии с основной идеей этого метода все пространство существования звукового поля естественным образом разобьем на три области: область I представляет собой внешность полукруга радиусом  $h$ , т. е.  $r \geq h$ ,  $0 \leq \theta \leq \pi$ ; область II занимает четверть круга радиусом  $h$ , т. е.  $r \leq h$ ,  $0 \leq \theta \leq \pi/2$ ; область III определяется другой четвертью круга  $r \leq h$ ,  $\pi/2 \leq \theta \leq \pi$ .

Поместим в точку размещения источника  $S$  центр  $O_1$  второй полярной системы координат  $(r_1, \theta_1)$  (см. рис. 1). Как известно, поле давления элементарного линейного источника определяется выражением  $p_0 = GH_0^{(1)}(kr_1)$  [9]. Здесь  $G$  – амплитуда, которую примем равной единице;  $H_0^{(1)}(kr_1)$  – функция Ханкеля нулевого порядка;  $k = \omega/c$ ;  $\omega = 2\pi f$ ;  $c$  – скорость звука в среде;  $f$  – частота. Если  $d > h$ , то источник звука располагается в области I, а если  $d < h$  – то в области II (здесь  $d = (b^2 + g^2)^{1/2}$ ).

Пусть для определенности  $d > h$ . Тогда звуковое поле в области I следует записать в виде

$$p_I = H_0^{(1)}(r_1) + \sum_{n=0}^{\infty} A_n \frac{H_n^{(1)}(kr)}{H_n^{(1)'}(kh)} \cos(n\theta), \quad (1)$$

где угловые функции  $\cos(n\theta)$  выбраны таким образом, чтобы автоматически удовлетворять граничным условиям на жесткой поверхности при  $\theta = 0$  и  $\theta = \pi$ . Совокупность произвольных коэффициентов  $A_n$  позволяет выполнить условия сопряжения на границе с областями II и III.

Поле давления в области II представим в виде суперпозиции стоячих волн:

$$p_{II} = \sum_{m=0}^{\infty} B_m \frac{J_{2m}(kr)}{J_{2m}'(kh)} \cos(2m\theta). \quad (2)$$

Здесь угловые функции  $\cos(2m\theta)$  выбраны согласно граничным условиям на жестких поверхностях плоскости и экрана (при  $\theta = 0$  и  $\theta = \pi/2$ ). Если выполняется неравенство  $d < h$ , то выражение для поля источника  $H_0^{(1)}(kr_1)$  следует перенести из формулы (1) в правую часть формулы (2). Последовательность коэффициентов  $B_m$  обеспечивает выполнение условий сопряжения на границе с областью I.

Аналогично, для области III звуковое поле запишем следующим образом:

$$p_{III} = \sum_{q=0}^{\infty} C_q \frac{J_{2q}(kr)}{J_{2q}'(kh)} \cos[2q(\theta - \pi/2)]. \quad (3)$$

В выражениях (1)–(3) приняты стандартные обозначения для функций Бесселя и Ханкеля.

Сформируем систему функциональных уравнений, определяющую условия неразрывности звукового поля на границах областей I и II, III:

$$p_I = \begin{cases} p_{II}, & r = h, \quad \theta \in [0, \pi/2], \\ p_{III}, & r = h, \quad \theta \in [\pi/2, \pi], \end{cases} \quad (4)$$

$$-\frac{\partial p_I}{\partial r} = -\frac{\partial p_{II}}{\partial r}, \quad r = h, \quad \theta \in [0, \pi/2], \quad (5)$$

$$-\frac{\partial p_I}{\partial r} = -\frac{\partial p_{III}}{\partial r}, \quad r = h, \quad \theta \in [\pi/2, \pi]. \quad (6)$$

При подстановке выражений (1)–(3) в систему (4)–(6) следует записать поле линейного источника  $H_0^{(1)}(kr_1)$  в системе координат  $(r, \theta)$ . Для этого воспользуемся теоремой сложения цилиндрических функций [10]. Учитывая, что источник может быть расположен как в области I, так и в области II, необходимо использовать два варианта разложения функции  $H_0^{(1)}(kr_1)$  по системе функций в координатах  $(r, \theta)$ :

$$H_0^{(1)}(kr_1) = \sum_{n=0}^{\infty} \varepsilon_n H_n^{(1)}(kd) \times \\ \times J_n(kh) \cos[n(\theta - \alpha)], \quad (7)$$

$$d > h$$

или

$$H_0^{(1)}(kr_1) = \sum_{m=0}^{\infty} \varepsilon_m H_m^{(1)}(kh) \times \\ \times J_m(kd) \cos[m(\theta - \alpha)], \quad (8)$$

$$d < h,$$

где  $\varepsilon_0 = 1$ ,  $\varepsilon_n = 2$  при  $n > 0$ ;  $\alpha = \arctan g/b$ .

С учетом ортогональности соответствующих наборов функций нетрудно провести стандартную алгебраизацию функциональных соотношений (4)–(6), которая порождает бесконечную систему линейных алгебраических уравнений второго рода относительно неизвестных коэффициентов  $A_n$ ,  $B_m$ ,  $C_q$ , являющуюся исходной для получения количественных данных об акустических свойствах рассматриваемых барьеров.

### 3 АНАЛИЗ ЧИСЛЕННЫХ РЕЗУЛЬТАТОВ

Проанализируем пространственное распределения звукового поля вокруг барьера как наиболее наглядной и информативной характеристики поля. На рис. 2 представлены такие данные, рассчитанные для различных частот и расстояний от источника до барьера при его фиксированной высоте, равной 4 м. Здесь и ниже рассмотрен случай, когда источник расположен на поверхности  $y = 0$  ( $g = 0$ ).

Анализ представленных данных о распределении звукового поля вокруг барьера позволил установить ряд наиболее общих закономерностей рассматриваемой системы источник–барьер:

- 1) с ростом частоты увеличивается общая глубина звуковой тени за барьером, чего и следовало ожидать ввиду возрастания волновой высоты барьера;
- 2) с ростом частоты растет общая неравномерность поля за барьером, что обусловлено увеличением здесь количества тенеобразующих лепестков, вызванных более жесткой интерференцией прямого поля от источника и дифрагированных полей от кромки барьера;
- 3) с удалением источника от барьера становится заметной интерференция волн и перед барьером, что обусловлено взаимодействием прямых волн от источника и отраженных от барьера волн в обратном направлении.

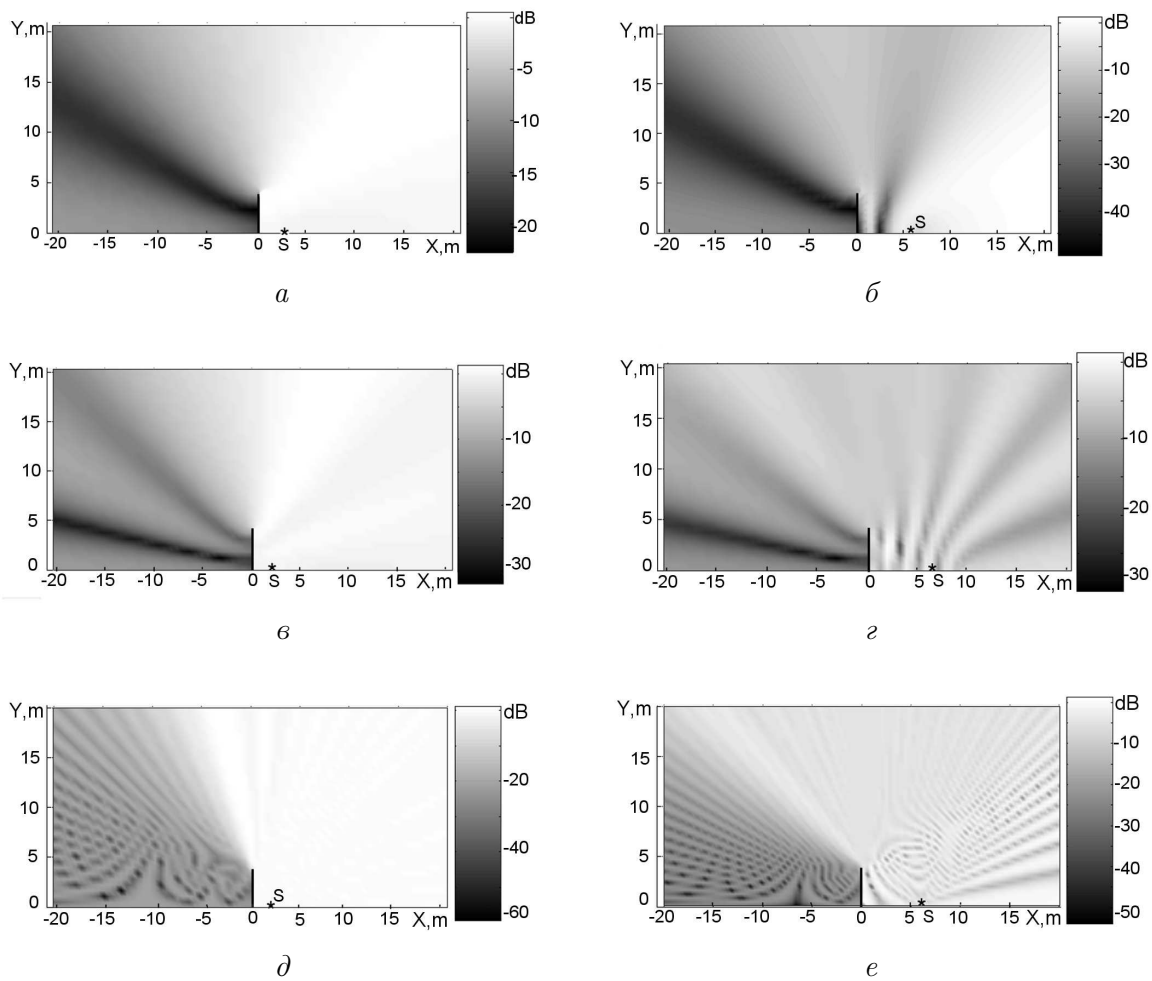


Рис. 2. Распределения звукового поля вокруг четырехметрового барьера:

$a - f=34$  Гц,  $b=2$  м;  $б - f=34$  Гц,  $b=6$  м;  $в - f=85$  Гц,  $b=2$  м;  
 $г - f=85$  Гц,  $b=6$  м;  $д - f=850$  Гц,  $b=2$  м;  $е - f=850$  Гц,  $b=6$  м

Виявленні закономірності дозволяють зробити практичний висновок, суть якого зводиться до наступного. Ефективність подавлення бар'єром шумів суттєвим чином залежить від характерних особливостей спектра джерела шумів, а також від взаємного розташування джерела, бар'єра і захищеної від шумів області простору. Крім цього, з аналізу літератури, присвяченої захисту від шуму, слід, що ефективність бар'єрів також в значительній мірі залежить від форми і фізичних властивостей їх поверхонь. Тому, враховуючи багатопараметричність розглянутої задачі і дуже складний характер поля за бар'єрами, впевнено прогнозувати їх ефективність можна тільки на основі постановки і рішення строгих задач дифракції, тісно пов'язаних з конкретними практичними цілями, умовами і обстановкою.

## ЗАКЛЮЧЕНИЕ

На основе применения метода частичных областей дано строгое решение задачи о рассеянии звука на шумоподавляющем барьере и разработан эффективный алгоритм для проведения численного анализа звукового поля в освещенной, переходной и теневой зонах. Проведены расчеты звукового поля в дальней и ближней окрестностях барьера для широкого диапазона частот при разных размещениях источника относительно барьера. Проанализированы полученные количественные данные, позволившие оценить эффективность барьеров для двух интересных для практики случаев их использования.

## ЛИТЕРАТУРА

1. Дідковський В. С., Акименко В. Я., Запорожець О. І., Савін В. Г., Токарев В. І. Основи акустичної екології.– Кіровоград: ТОВ “Імекс ЛТД”, 2003.– 517 с.
2. Осипов Л. Г., Бобылев В. И., Борисов Л. А. и др. Звукоизоляция и звукопоглощение.– М.: Изд-во АСТ и Астрель, 2004.– 450 с.
3. Kurze U. J. Noise reduction by barriers // J. Acoust. Soc. Amer.– 1974.– **55**, N 3.– P. 504–518.
4. Medwin H. Shadowing by finite noise barriers // J. Acoust. Soc. Amer.– 1981.– **69**, N 4.– P. 1060–1064.
5. Isei T., Embleton T. F. W., Piercy J. E. Noise reduction by barriers on finite impedance ground // J. Acoust. Soc. Amer.– 1980.– **67**, N 1.– P. 46–58.
6. Pierce A. D. Diffraction of sound around corners and over wide barriers // J. Acoust. Soc. Amer.– 1974.– **55**, N 5.– P. 941–955.
7. Okubo Tomonau, Kyoji Fujiwara Efficiency of a noise barrier with an acoustically soft cylindrical edge for practical use // J. Acoust. Soc. Amer.– 1999.– **105**, N 6.– P. 3326–3335.
8. Вовк И. В., Гринченко В. Т. Волновые задачи рассеяния звука на упругих оболочках.– Киев: Наукова думка, 1986.– 240 с.
9. Шендеров Е. Л. Излучение и рассеяния звука.– Л.: Судостроение, 1989.– 301 с.
10. Ватсон Г. Н. Теория бесселевых функций.– М.: ИИЛ, 1949.– 798 с.
11. Keller J. B. Geometrical theory of diffraction // J. Opt. Soc. Amer.– 1962.– **52**, N 2.– P. 116–130.